

### III-28 砂移動平面河床における水流の抵抗法則について

神戸大学 正員 松梨順三郎

移動床をもつた閉水路水流において、掃流力が限界掃流力に達すると、砂の移動が開始される。さらに掃流力が増加してある限界状態に達すると、いわゆる砂渦が発生する。ことはよく知られており事実である。移動床をもつた閉水路水流においても同様の現象がある。かくは昨年の学会で発表した。ここで上述のような掃流力の増加による現象過程の各段階をつきのように命名する。すなはち、砂が移動しない現象段階を砂不移動平面河床、砂が動き始める状態を砂限界移動平面河床、限界掃流の状態から砂渦の発生が開始するまでの現象段階を砂移動平面河床とする。本講演では表題に述べてあるように砂移動平面河床の現象段階に着目し、二の状態における水流の抵抗法則を次元解析的方法で求めたので、その概要について述べる。

まず閉水路水流については、ハイ定理を適用して現象を規定する無次元式式式、

$$U_m/U_R = g\{\bar{R}, U_R d/L, R/d, \psi\} \quad (1)$$

を得る。ここで  $U_R = (g R S_0)^{1/2}$ ,  $\bar{R} = U_m/\sqrt{g R}$ ,  $\psi = U_R^2/gd(\gamma/\rho - 1)$  とする。粗面固定床における水流との現象的類似性を考慮して、(1)式を  $U_m/U_R = Ar - 2.5 + 5.75 \log R/d$  とすると、 $Ar$  は  $\bar{R}$ ,  $U_R d/L$ ,  $\psi$  の函数となる。すでに発表した<sup>1)</sup>砂移動平面河床の状態における実験資料によつて  $Ar$  の函数形をつきのように決定した。実験資料の範囲は、 $820 < Re = U_m R/L < 25300$ ,  $0.45 < \bar{R} < 1.10$ ,  $1.18 < U_R d/L < 18.90$ ,  $0.0182 < \psi < 0.201$  であり、使用砂は  $d_{50} = 0.015, 0.033, 0.072, 0.075, 0.092, 0.210, 0.290 \text{ cm}$  の一様な粒度分布の砂で、それら実験砂 I, II, IV, V, VII, VIII, IX と命名する。実験資料によると、 $Ar$  は  $U_R d/L$  の增加につつて一般に減少するが、その傾向は  $U_R d/L$  の大きさによつて異なる。ここで  $U_R d/L < 10$ ,  $10 < U_R d/L < 50$ ,  $50 < U_R d/L$  に分けて論ずる。図-(1) log  $R/d$  と  $\psi$  の関係

図-(1) log  $R/d$  と  $\psi$  の関係  
二者の中間的領域として特性づけられる。

#### i) $U_R d/L < 10$ の場合

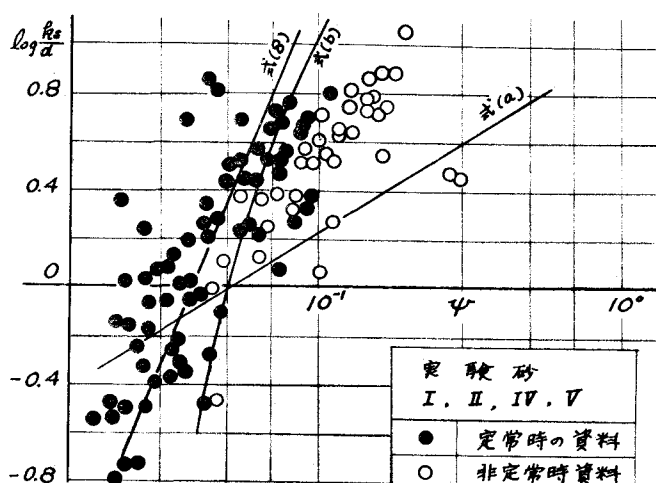
$Ar$  は  $\log U_R d/L = f$  つて直線的に減少するものと假定すると、

$$Ar = a_1 - 3.45 \log U_R d/L \quad (2)$$

となる。 $a_1$  は  $\bar{R}$ ,  $\psi$  の函数となることが期待されるが、恒等的には、

$$\log \psi = 2 \log U_R d/L - 2 \log R_* \quad (3)$$

が成立する。これを考慮すると、 $a_1$  は  $\bar{R}$ ,  $R_*$  の函数となることがわかる。  
 $= (R_* = [gd^3(\gamma/\rho - 1)]^{1/2}/L)$  とする。 $R_*$  のあ



の  $a_1$  の値に対する  $a_1 = (Ar + 34.5 \log U_k d/L)$  と  $\psi$  の関係を一次的であると假定すると、

$$a_1 = a_2 + 14\sqrt{R}$$

となることが実験的に示される。しかして、 $a_2 = Ar + 34.5 \log U_k d/L - 14\sqrt{R}$  と  $\log R_s$  との関係を一次的であるとするとき、

$$a_2 = -23.3 + 34.3 \log R_s \quad (5)$$

が得られる。(2), (4), (5) 式はすべて  $Ar$  の函数形で、したがって  $U_m/U_k^*$  の函数形はつきのようになる。

$$\frac{U_m}{U_k^*} = -25.8 + 34.3 \log R_s + 14\sqrt{R} - 34.5 \log \frac{U_k^* d}{L} + 5.75 \log \frac{R}{d} \quad (6)$$

式(2)はすべて  $R_s$  を消去すると、

$$\frac{U_m}{U_k^*} = -25.8 + 14\sqrt{R} - 0.2 \log \frac{U_k^* d}{L} - 17.15 \log \psi + 5.75 \log \frac{R}{d} \quad (7)$$

が得られる。相当粗度  $R_s$  を導入すると、式(7)式を整理すると、

$$\left\{ \begin{array}{l} U_m/U_k^* = 6.25 + 5.75 \log R/d \\ \log R_s/d = (32.05 + 0.2 \log U_k^* d/L - 14\sqrt{R})/5.75 + 2.99 \log \psi \end{array} \right. \quad (8)$$

が得られる。図-1 は  $U_k^* d/L$ 、反にに対して各砂と実験値の平均値をもとにした場合の  $R_s/d$  と  $\psi$  の関係を示す。しかし、 $U_k^* d/L < 10$  の場合は砂Ⅰと砂Ⅱ、砂Ⅲと砂Ⅳ、砂Ⅴと砂Ⅵ、砂Ⅶと砂Ⅷ、砂Ⅸと砂Ⅹの組合せで、領域  $10 < U_k^* d/L < 50$  のもの、すなわち実験砂Ⅺ、Ⅻと過渡的現象過程を示すとして同時に表示した。また(a), (b) 曲線は岩垣、橋脚等の実験式である。

$$\log R_s/d = 1 + 0.769 \log \psi \quad (a)$$

$$\log R_s/d = 3.48 \{ 1 - 0.225 \psi^{-1/2} \} \quad (b)$$

をあらわす。

### ii) $U_k^* d/L > 50$ の場合

i) の場合とはほぼ同様な考察によつて

$$\left. \begin{array}{l} U_m/U_k^* = 6.25 + 5.75 \log R/d \\ \log R_s/d = (8.95 - 1.8\sqrt{R})/5.75 + \log \psi \end{array} \right\} \quad (9)$$

を得る。図-2 は、前と同様に反に対して実験範囲の平均値をもとにした場合の  $R_s/d$ 、 $\psi$  の関係を示す。

つきに閉水路水流に対するのは、同様の考察によつて、式(1), (8) は成立する関係式である。

$$U_m/U_k^* = 6.25 + 5.75 \log R/d \quad (1)$$

$$U_m/U_k^* = 6.48 + 5.75 \log R/d \quad (8)$$

$$\log R_s/d = 2.54 + 1.89 \log \psi \quad (8')$$

を得る。図-3 は式(8')の関係を示す。

### 1) 限界掃流力附近の流れに関する研究

土木学会論文集 51号,昭和32年12月。

図-2)  $\log R_s/d$  と  $\psi$  の関係

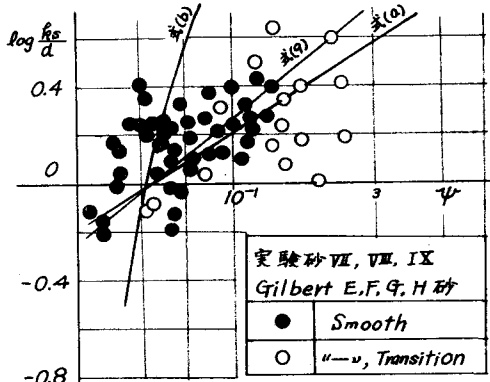


図-3)  $\log R_s/d$  と  $\psi$  の関係

